

06.2

© 1990

РАЗМЕРНЫЙ ЭФФЕКТ ПРИ ХИМИЧЕСКОМ ТРАВЛЕНИИ СУБМИКРОННЫХ ПЕРИОДИЧЕСКИХ КАНАВОК В GaAs

Ю.М. Дикаев, М.Л. Яссек

Гофрированные периодические структуры на поверхности GaAs находят применение в устройствах микроэлектроники, например, в лазерных диодах с распределенной обратной связью [1]. Анизотропным химическим травлением через фоторезистивную решетчатую маску получаются канавки с формой трапеции [2]. Ширина канавки определяется размером окна в фоторезистивной маске, через которую вытравливается поверхность GaAs . Разумно полагать, что при технологических процессах глубина канавки не зависит от размера этого окна, а определяется линейной скоростью химического растворения материала. Замечено уменьшение линейной скорости химического травления поверхности GaAs при уменьшении размера окна, но не дано объяснение происходящим при этом физическим процессам [3].

В данной работе показано экспериментально, что с уменьшением размера окна в фоторезистивной решетчатой маске линейная скорость химического травления поверхности GaAs увеличивается. Введением понятия объемной скорости травления материала объясняется такой размерный эффект при вытравливании канавок с периодом в диапазоне от 0.5 до 1.5 мкм.

Для исследования использовались подложки из GaAs ориентации (100). Фоторезистивная решетчатая маска формировалась на поверхности голограммическим методом при экспонировании излучением от аргонового лазера. Получаемые маски из фоторезиста имели размер окна A , приблизительно равный половине периода Λ (рис. 1, а). Далее химическим травлением в растворе $\text{HCl} - \text{KBrO}_3 - \text{H}_2\text{O}$ вытравливались канавки в GaAs через фоторезистивную маску, а затем маска смывалась. Травление происходило по направлениям кристаллографических плоскостей (100) и (111). Боковыми стенками полученных канавок являются плоскости (111), образующие угол 35 градусов с нормалью к поверхности (100), что и наблюдали по поперечному сколу решетки в GaAs с помощью растрового электронного микроскопа. Глубина полученных канавок, имеющих профиль трапеции, оценивалась по измерению эффективности в первом порядке дифракции лазерного излучения на таких решетках [4]. На рис. 1, б представлены расчетные значения глубины h от времени t анизотропного химического травления. При этом средние значения линейной скорости химического травления, рассчитанные из рис. 1, б для периодов 1.5, 1, 0.7 и 0.5 мкм, равны соответственно

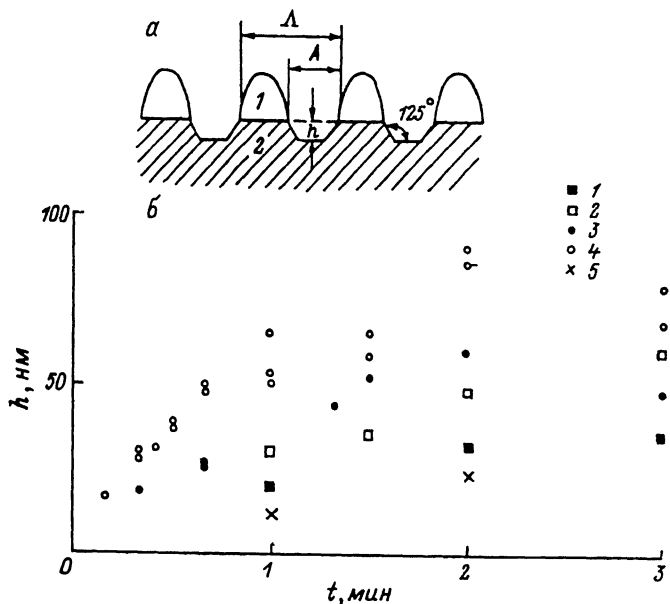


Рис. 1. а - профиль вытравленных через фоторезистивную решетчатую маску (1) трапециевидных канавок в $GaAs$ (2), б - значения h глубины канавок для времени t анизотропного химического травления в растворе $HCl - KBrO_3 - H_2O$ с периодом канавок $\Lambda = 1.5$ мкм (1), 1 мкм (2), 0.7 мкм (3), 0.5 мкм (4); (5) - значения для ступеньки (полубесконечной канавки).

20, 30, 40 и 65 нм/мин. При измерении скорости травления на ступеньке (полубесконечной канавке) она составила 12 нм/мин. Отклонение от линейности для периодов решетки 0.7 мкм и 0.5 мкм при $t > 2$ мин связано с изменением геометрической формы канавок за счет бокового подтравливания. Таким образом, имеем: с уменьшением периода гофрированной решетки линейная скорость химического травления $GaAs$ заметно увеличивается. При уменьшении периода структуры до 0.3 мкм наблюдалось уменьшение скорости химического травления, как и в [3]. Это, вероятно, связано с тем, что в данном случае капиллярный эффект преобладает над размерным и возникают затруднения для проникновения водного раствора травителя в зазор, образованный гидрофобным фоторезистом. Если ввести понятие объемной скорости травления материала [5, 6] и по оси ординат отложить не глубину h (рис. 1, Б), а площадь поперечного сечения канавки S , то экспериментальные значения группируются вдоль некоторой линии под углом $1.6 \cdot 10^4$ нм²/мин, как показано на рис. 2. Произведение площади S , единицы длины вдоль канавки и плотности материала соответствует массе вещества, вытравленного за время t . Таким образом, скорость трав-

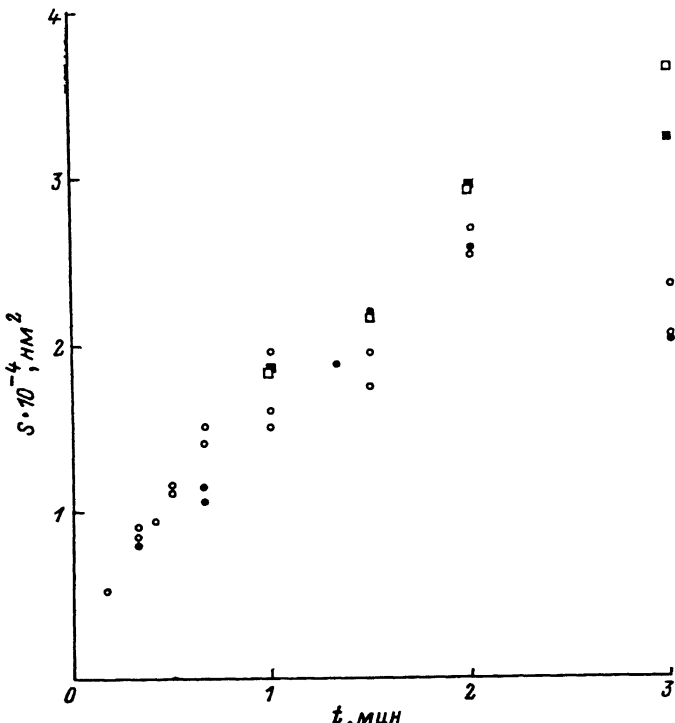


Рис. 2. Площадь S поперечного сечения канавки, вытравленной за время t . Обозначения, как на рис. 1.

ления гофрированной решетки с периодами 0.5–1.5 мкм определяется объемной массой $GaAs$, вытравленной за единицу времени.

Список литературы

- [1] Goldstein B., Evans G., Connolly J., Dinkel N., Kirk J. // Appl. Phys. Lett. 1988. V. 53. N 7. P. 550–552.
- [2] Физико-химические методы обработки поверхности полупроводников / Под ред. Луфт Б.Д. М.: Радио и связь, 1982. 136 с.
- [3] Tsang W.-T., Wang S. // Appl. Phys. Lett. 1976. V. 28. N 1. P. 44–46.
- [4] Карпов С.Ю., Мизеров М.Н., Портной Е.Л., Смирницкий В.Б. // ЖТФ. 1984. Т. 54. В. 10. С. 1942–1947.
- [5] Gutfeld R.J., Hodgson R.T // Appl. Phys. Lett. 1982. V. 40. N 4. P. 352–354.

Институт радиотехники
и электроники АН СССР,
Фрязинская часть

Поступило в Редакцию
14 февраля 1990 г.
В окончательной редакции
с 13 июня 1990 г.

Письма в ЖТФ, том 16, вып. 16

26 августа 1990 г.

05.4

© 1990

ПРИМЕНЕНИЕ ФОТОЛИТОГРАФИИ ДЛЯ СОЗДАНИЯ ТОНКОПЛЕНОЧНЫХ ЭЛЕМЕНТОВ НА ОСНОВЕ $Y\text{-Ba-Cu-O}$

А.В. Б а г у п я, И.П. К а з а к о в,
А.Р. М и к е р т у м я н ц, М.А. Н е г о д а е в,
В.А. Р о м а ш и н, В.И. Ц е х о ш,
А.Н. Ю р к о в

Для решения ряда научных и технических задач криоэлектроники требуются пленочные сверхпроводящие структуры сложной конфигурации. С появлением высокотемпературных сверхпроводников (ВТСП) возникла необходимость в исследованиях возможностей традиционных методов нанесения рисунка с высоким разрешением на пленки ВТСП, в частности состава $Y\text{-Ba-Cu-O}$.

В работах [1, 2] для формирования рисунка на таких пленках использовались методы лазерного и ионно-лучевого травления. Одним же из наиболее распространенных и доступных методов литографии является метод фотолитографии с проявлением в водных растворах.

В литературе неоднократно обсуждалось отрицательное влияние влаги на свойства ВТСП системы $Y\text{-Ba-Cu-O}$ [3]. Однако исследования по химическому полированию ВТСП состава $Y\text{-Ba-Cu-O}$, выполненные в работе [4], показали возможность кратковременного травления в водных растворах без нарушения сверхпроводящих свойств на глубинах $h > 0.1$ мкм (работа была выполнена на керамических образцах и монокристаллах). В работе [5] с помощью фотолитографии был сформирован рисунок с шириной линий 25 мкм с сохранением сверхпроводящих свойств полученной структуры.

Возможность деградации пленок состава $Y\text{-Ba-Cu-O}$ при проявлении в водных растворах приводит к жестким требованиям микро- и макронеоднородности пленок, а также к степени шероховатости поверхности пленок, к составу межзеренных границ, раз-